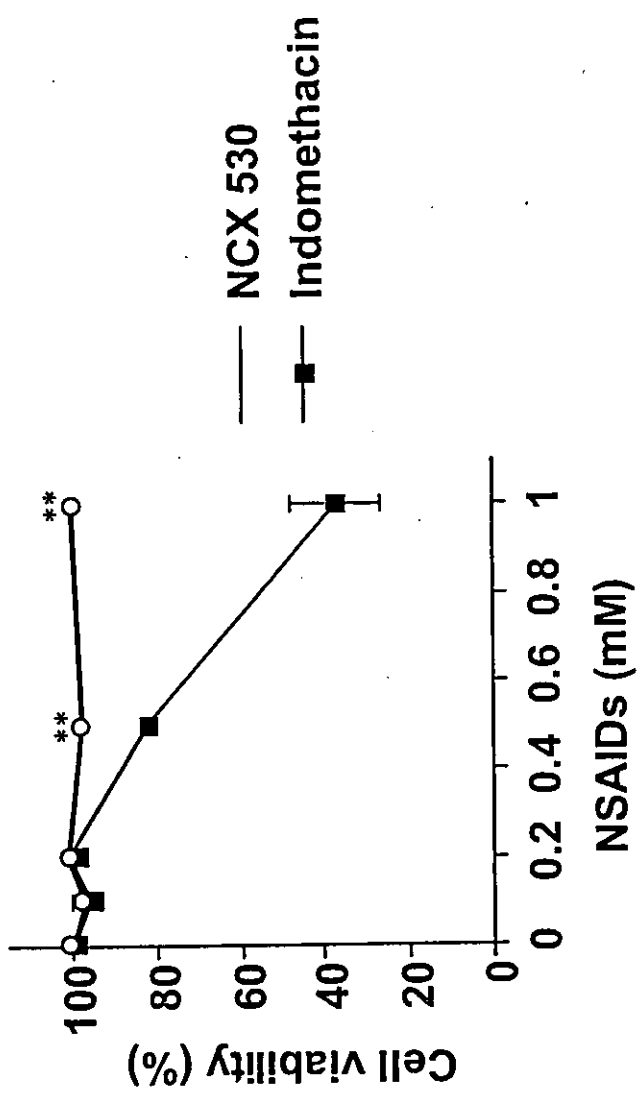


Tomisato et al. Fig. 1

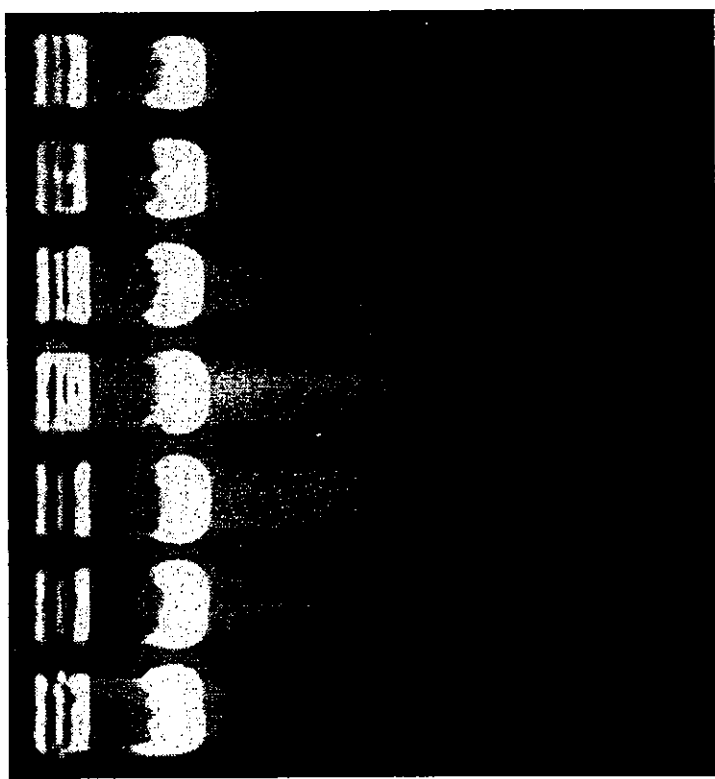
B



Tomisato et al. Fig. 1

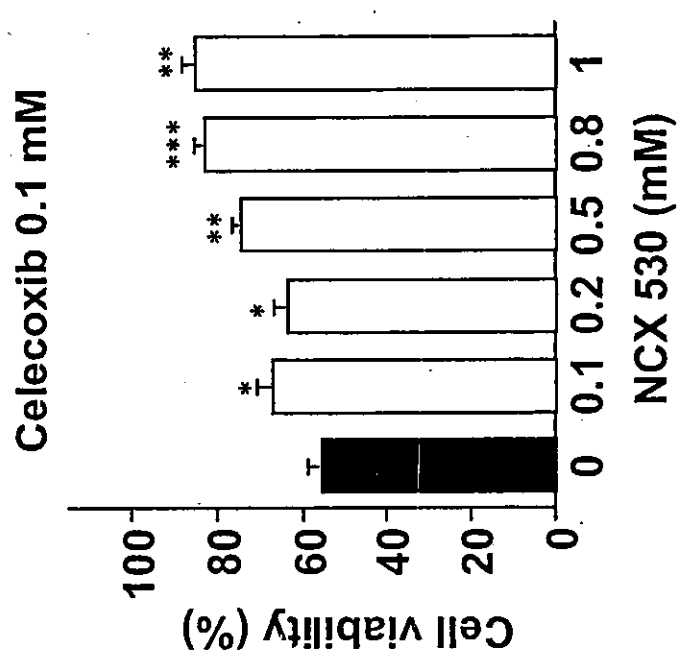
C

Indomethacin (mM) - 0.5 0.8 1.0 - -
NCX 530 (mM) - - - - 0.5 0.8 1.0



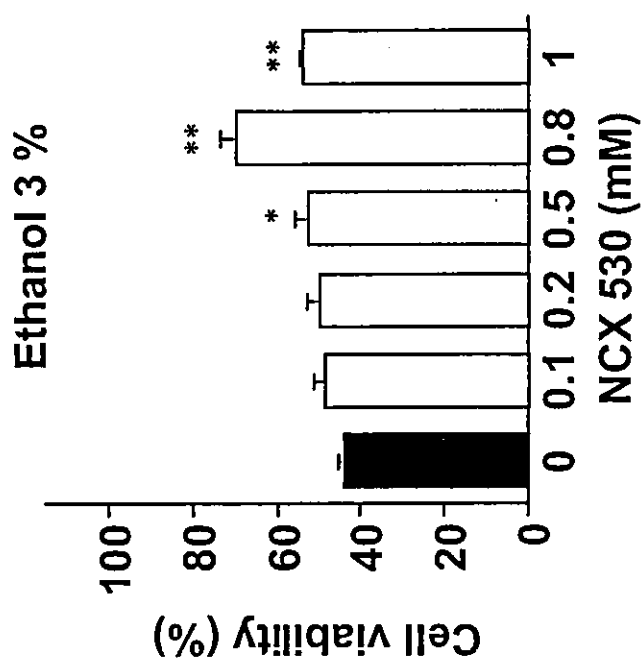
Tomisato et al. Fig. 2

A



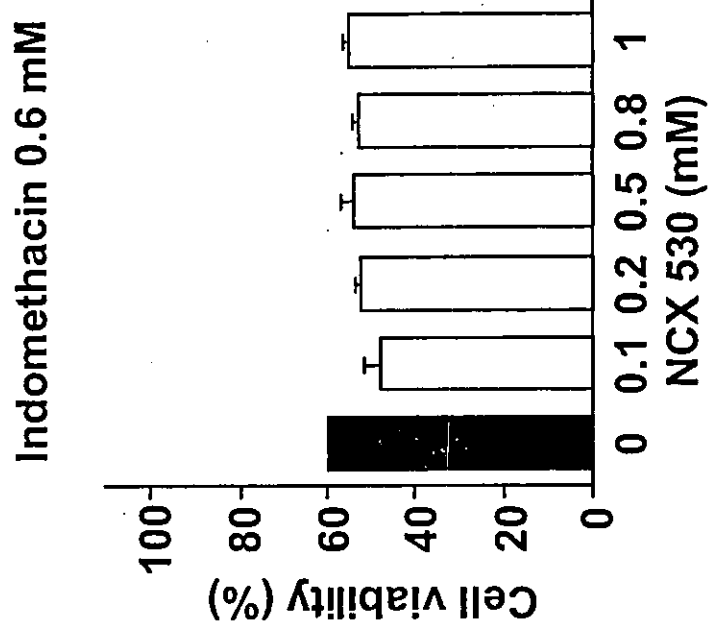
Tomisato et al. Fig. 2

B



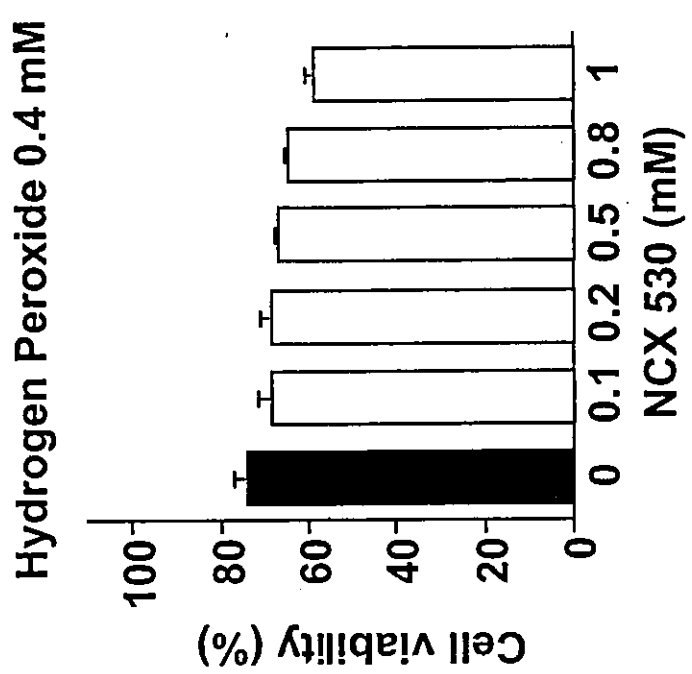
Tomisato et al. Fig. 2

C



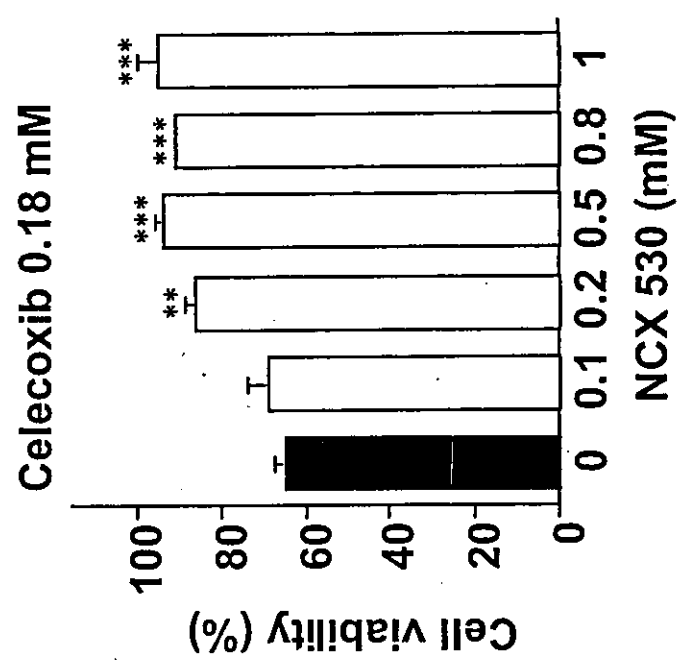
Tomisato et al. Fig. 2

D



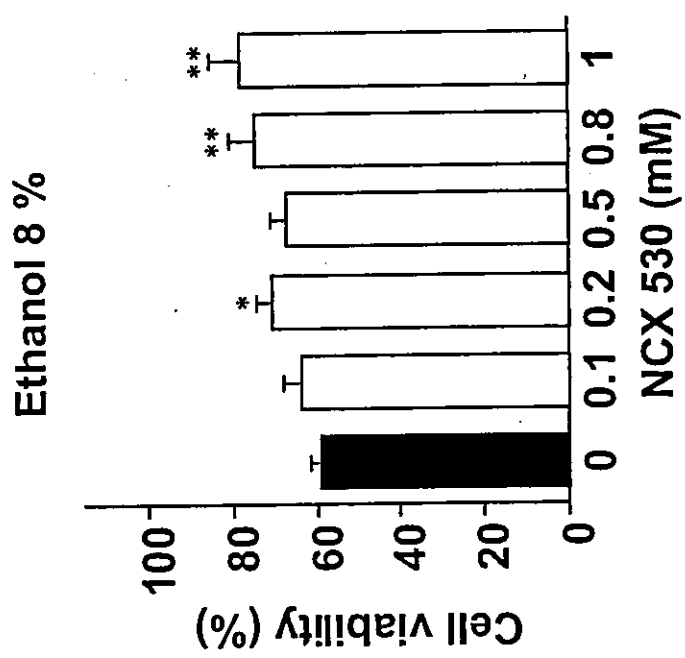
Tomisato et al. Fig. 3

A



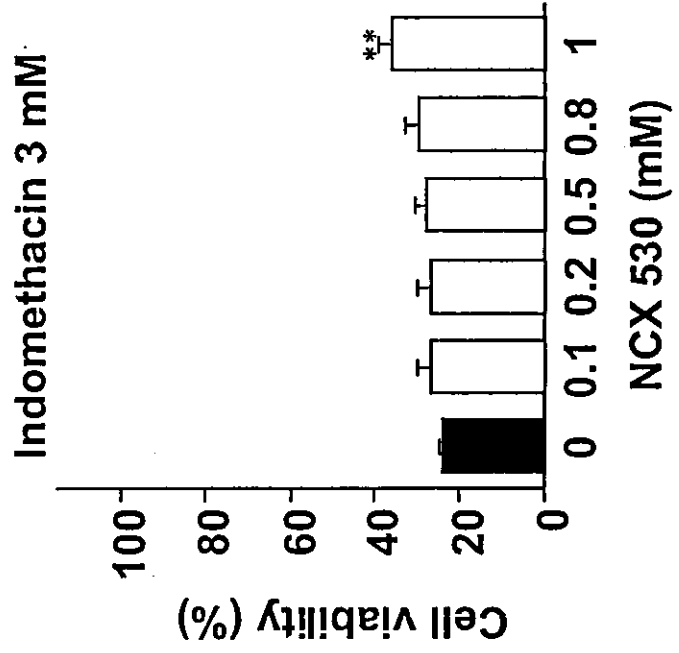
Tomisato et al. Fig. 3

B

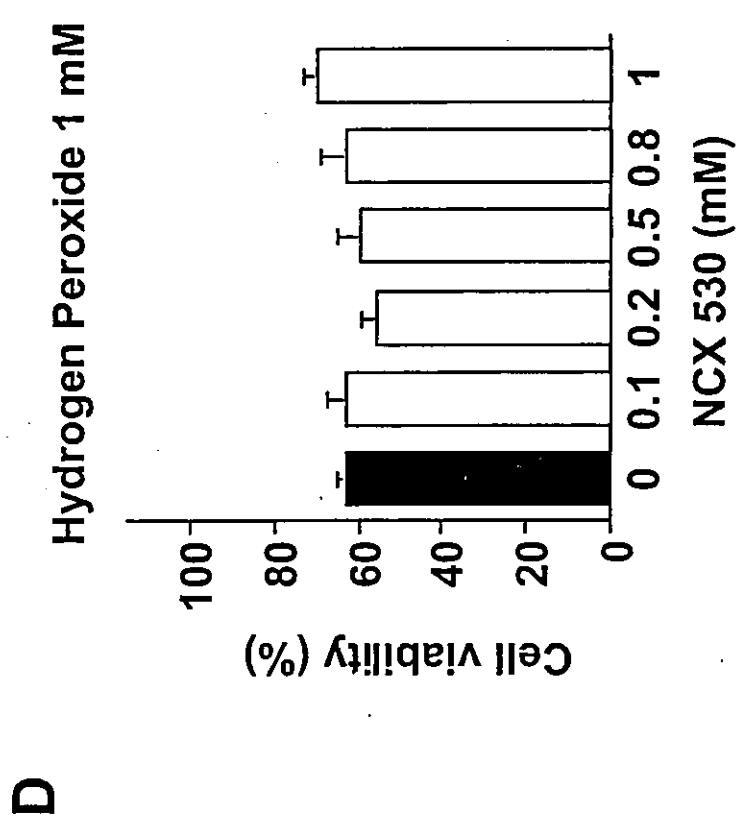


Tomisato et al. Fig. 3

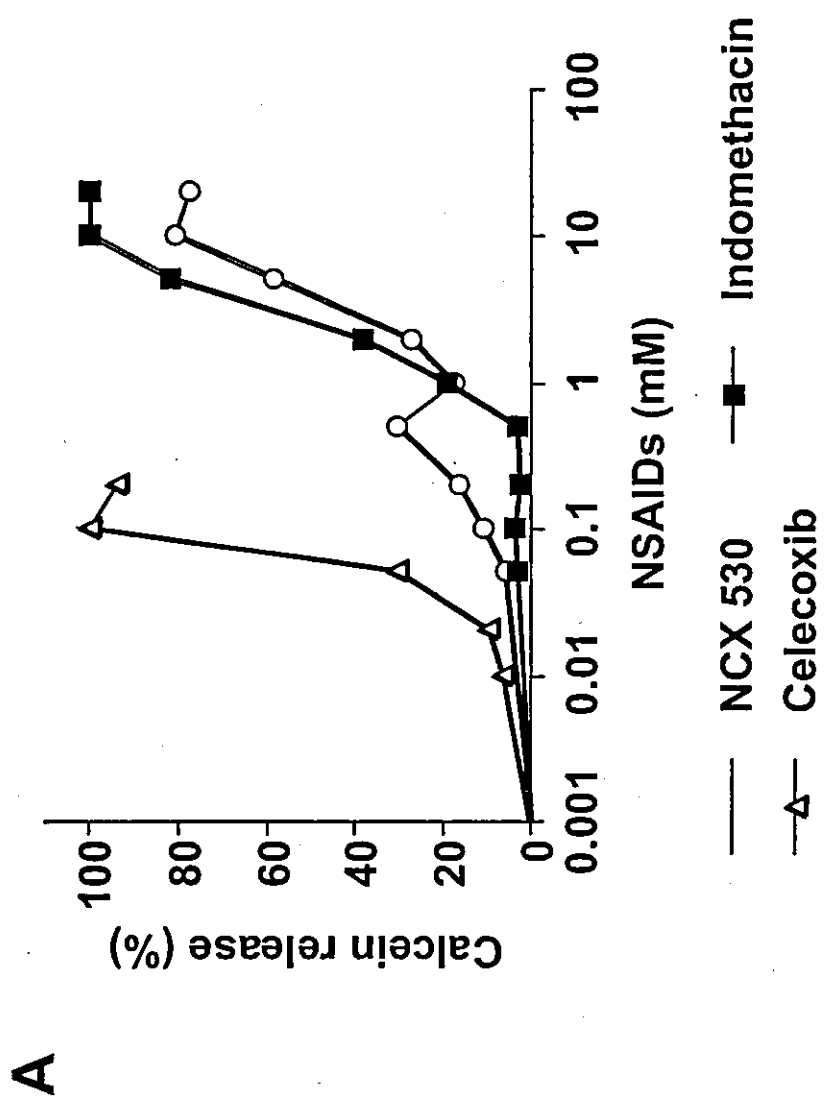
C



Tomisato et al. Fig. 3

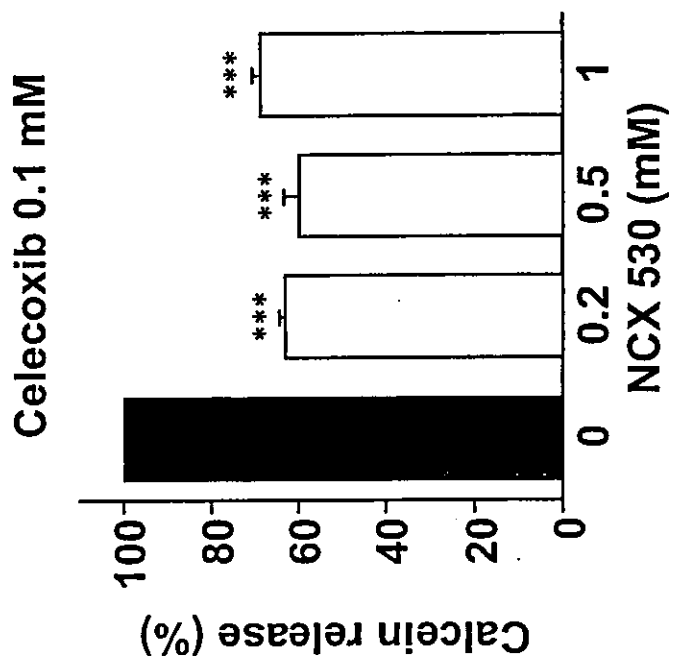


Tomisato et al. Fig. 4

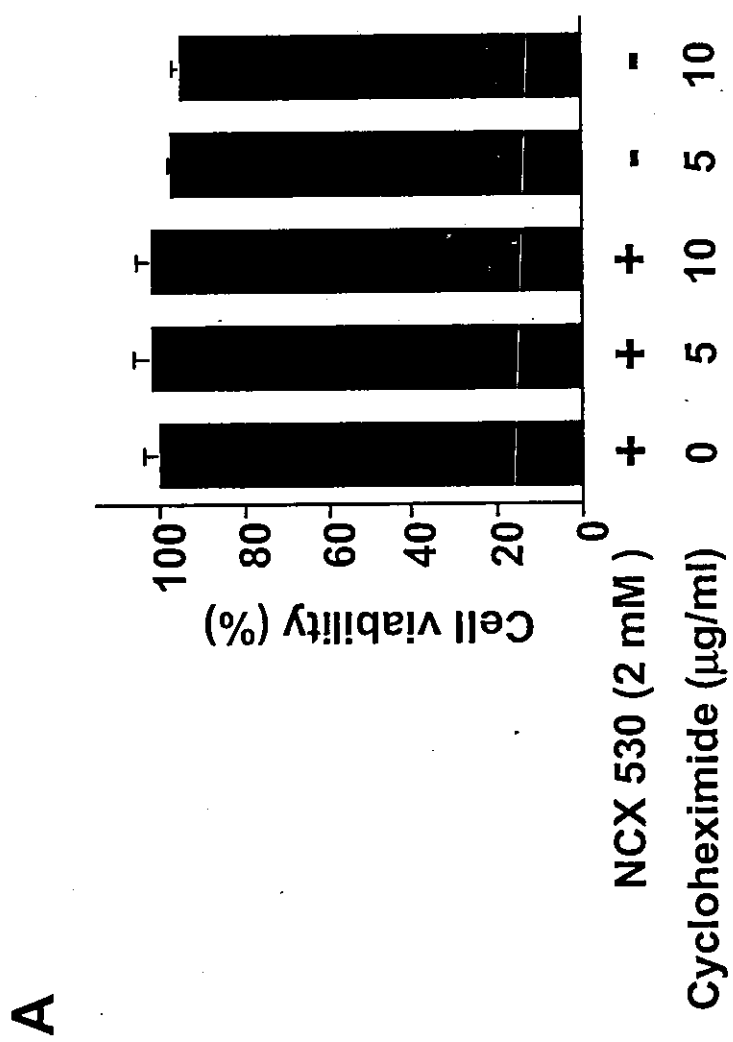


Tomisato et al. Fig. 4

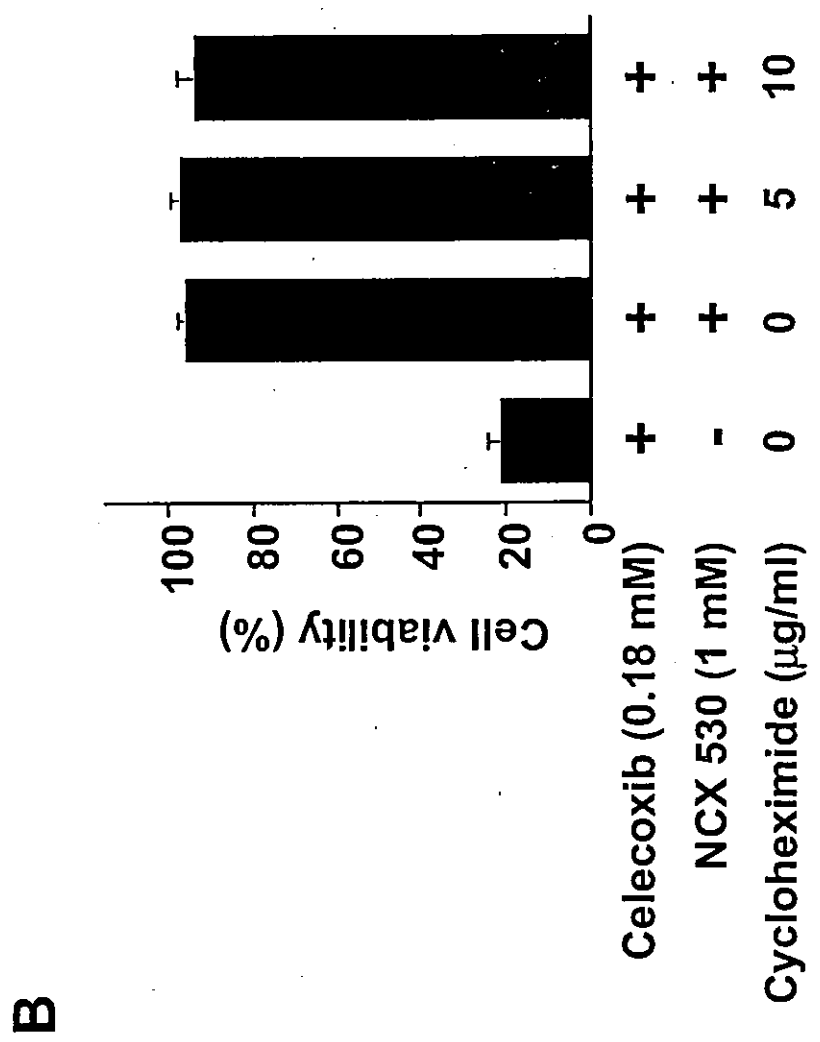
B



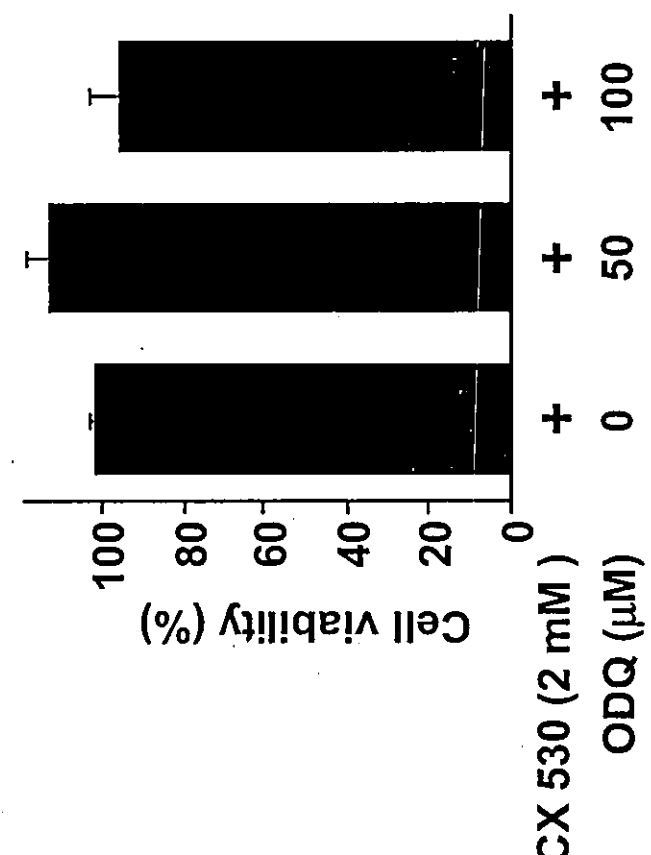
Tomisato et al. Fig. 5



Tomisato et al. Fig. 5

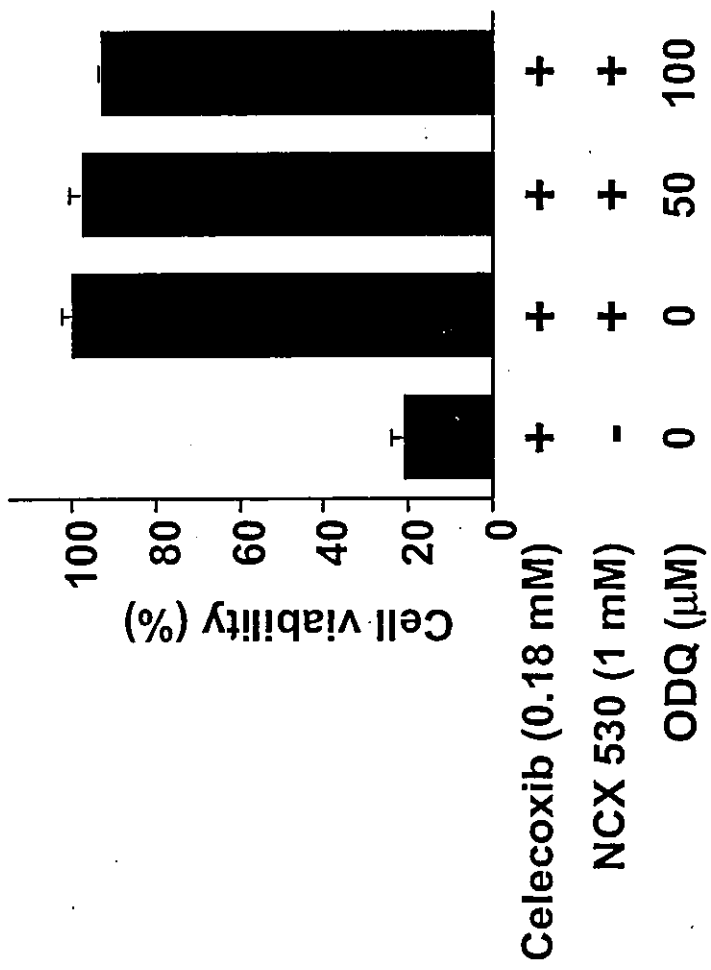


Tomisato et al. Fig. 6

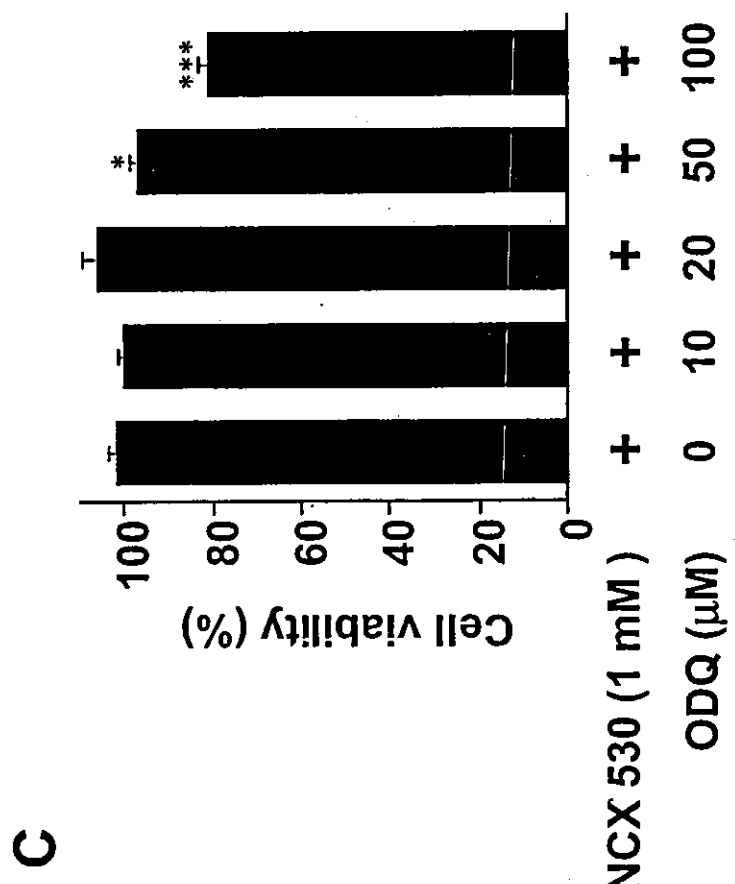


Tomisato et al. Fig. 6

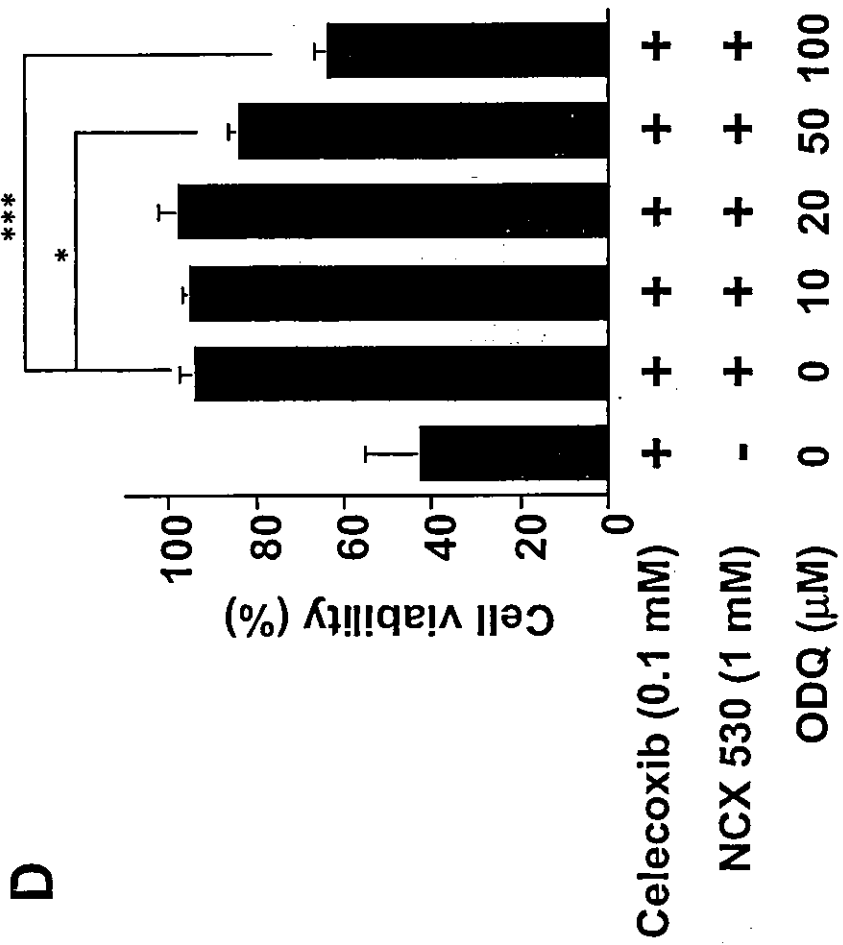
B



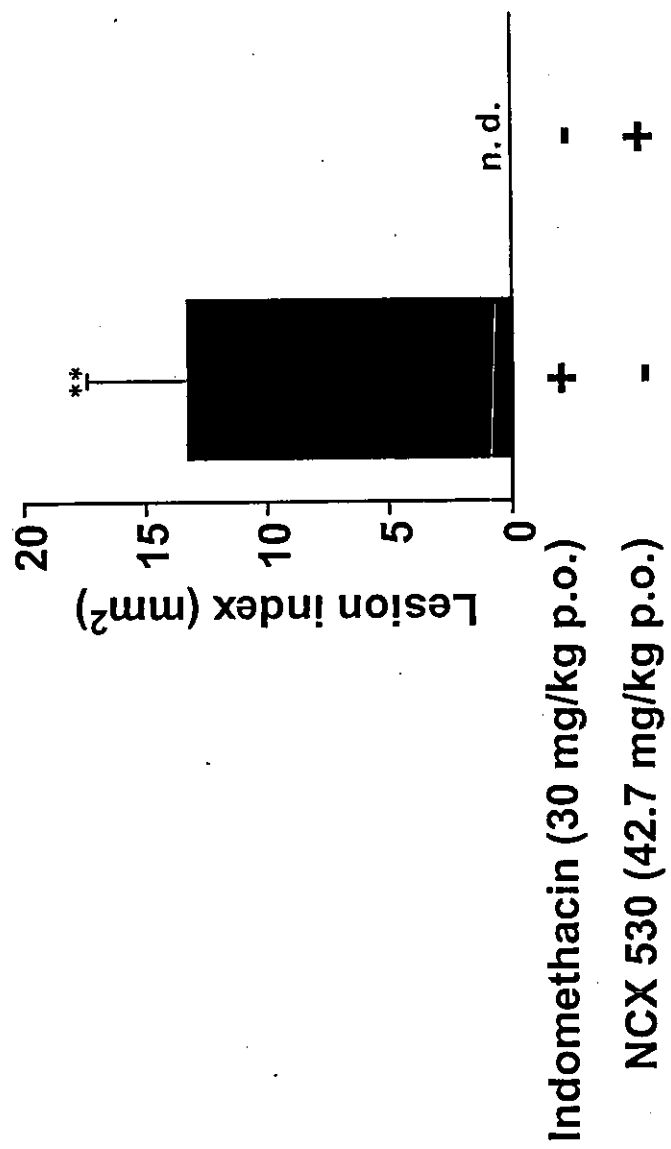
Tomisato et al. Fig. 6



Tomisato et al. Fig. 6



Tomisato et al. Fig. 7



Tomisato et al. Fig. 8

